



УСЛОВИЯ ФОРМИРОВАНИЯ И СВОЙСТВА КАРБОНАТНЫХ КОЛЛЕКТОРОВ РИФЕЯ ЮРУБЧЕНО-ТОХОМСКОГО МЕСТОРОЖДЕНИЯ

К.И.Багринцева (ФГУП "Всероссийский научно-исследовательский геологический нефтяной институт"),
Н.Б.Красильникова (ОАО "РН "Красноярск-НИПИнефть"), **Р.С.Сауткин** (ФГУП "Всероссийский научно-исследовательский геологический нефтяной институт")

Статья посвящена изучению коллекторских свойств низкоемких карбонатных отложений рифея Юрубчено-Тохомского месторождения. Выявлено несколько типов трещиноватости, даны фильтрационно-емкостные свойства, описаны постседиментационные процессы, играющие решающую роль в формировании древнейших резервуаров мира.

Ключевые слова: Юрубчено-Тохомское месторождение; карбонатные коллекторы; трещиноватость; фильтрационно-емкостные свойства; использованный метод оценки сложных коллекторов; новый метод.

Юрубчено-Тохомское месторождение, открытое в 1982 г., расположено в западной части Сибирской платформы, на Камовском своде Байкитской антиклизы. При испытании скв. Юр-2 был получен приток газа дебитом 225,4 тыс. м³/сут, а в 1984 г. в открытом стволе скв. Юр-5 (глубина 2285-2295 м) получен приток нефти дебитом 284 м³/сут.

Рифейские отложения Юрубчено-Тохомской зоны нефтегазонакопления вызывают большой интерес, так как к ним приурочены значительные запасы УВ. Впервые в мире из древнейших отложений рифея получены промышленные притоки нефти и газа в большом числе скважин. Несмотря на многочисленные исследования этого месторождения, до настоящего времени нет единого мнения об условиях формирования коллекторов и модели строения резервуара; также дискуссионным остается вопрос о типах коллекторов.

В данной статье изложены результаты исследований фильтрационно-емкостных свойств и трещиноватости низкоемких доломитов рифея Юрубчено-Тохомского месторождения, проведенных в лабораториях ФГУП "ВНИГНИ" и "Енисейнефтегазгеология".

Основные оценочные параметры (емкость и проницаемость) долгое время определяли на стандартных образцах цилиндрической формы, которые не позволяли выявить сложное строение и геометрию пустотного пространства рифейских отложений. Авторами статьи проведены исследования по большому числу скважин на образцах кубической формы с гранью 5 см, что позволило получить характеристику ориентированной газопроницаемости пород по трем направлениям, оценить сложное строение пустотного пространства и выявить усло-

вия формирования коллекторов. Использование метода капиллярной дефектоскопии для низкоемких карбонатных пород дало возможность выявить развитие большого числа открытых трещин, наблюдать интенсивное выщелачивание полостей трещин, образование каверн, а также обосновать более достоверную оценку фильтрационно-емкостных свойств рифейских отложений [1, 2].

Методика исследований керна рифейской продуктивной толщи основана на:

изучении литологического состава, генезиса и вторичных изменений пород в шлифах большого размера (5×5 см), прокрашенных смолой;

исследовании структуры и геометрии пустотного пространства по данным ртутной порометрии и с использованием растрового электронного микроскопа (РЭМ);

получении качественной и количественной характеристики трещиноватости методом капиллярного насыщения люминофором образцов кубической формы; определении эффективной емкости и абсолютной газопроницаемости в трех направлениях.

Изучение керна проведено по большому числу скважин, что обеспечило достоверность определения оценочных параметров, позволило выявить условия формирования сложных типов коллекторов, а главное – обосновать закономерности изменения свойств по скважинам с глубиной и по площади резервуара.

Юрубчено-Тохомское месторождение имеет сложное блоковое строение рифейского комплекса, осложненного серией дизъюнктивных нарушений. Кровля рифея представляет размытую поверхность, которую не согласно перекрывают вендские отложения [3]. Проведенный анализ продуктивности скважин (табл. 1) позво-

Таблица 1
Изменение продуктивности и эффективной емкости рифейских отложений по скважинам Юрубчено-Тохомского месторождения

Номер скважины	Юр4			Юр3			Притоки			Юр2			Юр1		
	газа, тыс. м ³ /сут	нефти, м ³ /сут	воды, м ³ /сут	газа, тыс. м ³ /сут	нефти, м ³ /сут	воды, м ³ /сут	газа, тыс. м ³ /сут	нефти, м ³ /сут	воды, м ³ /сут	газа, тыс. м ³ /сут	нефти, м ³ /сут	воды, м ³ /сут	газа, тыс. м ³ /сут	нефти, м ³ /сут	воды, м ³ /сут
1															
Юр-8															
Юр-14	153,2 0,3-1,5	150,0 0,57-1,20			206,0 1,0-11,0	209,0 1,5-6,0	— 0,7-4,0								
Юр-18															
Юр-19															
Юр-21															
Юр-23															
Юр-25															
Юр-28															
Юр-30															
Юр-32															
Юр-33															
Юр-34															
Юр-35															
Юр-36															
Юр-43															

Окончание табл. 1

лил установить, что наиболее перспективным является горизонт Юр₃, который отличается высокими дебитами нефти (211-310 м³/сут) и газа (40-302 тыс. м³/сут), большой эффективной емкостью за счет трещин и каверн и выдержанной толщиной в разрезе большого числа скважин Юрубченско-Тохомского месторождения.

Юрубченская толща (Юр) представлена двумя подтолщами: нижняя — Юр₄, Юр₃ и верхняя — Юр₂, Юр₁; она сложена преимущественно доломитами, строматолитовыми, водорослевыми, узорчатой и слоистой текстуры, послойно неравномерно окремненными. С запада на восток увеличивается мощность толщи от 334 м (скв. Юр-25) до 515 м (скв. Юр-30).

Нижнеюрубченская подтолща объединяет горизонты Юр₄ и Юр₃. На западе месторождения отложения Юр₄ выходят на предвендинскую эрозионную поверхность, постепенно погружаясь в восточном направлении до глубин более 3 км. Они вскрыты небольшим числом скважин, максимальная мощность в скв. Юр-69 (глубина 2495-2782 м) составляет 287 м. В нижней части разреза отмечено опесчанивание вплоть до перехода в песчаники. Песчаники серые, мелкозернистые, кварцевые, реже полимиктовые с доломитовым цементом. Выше по разрезу в основном распространены темноокрашенные доломиты из пластовых строматолитов с контрастной текстурой. Отмечаются прослои кремней до 10 см.

В скв. Юр-14 горизонт Юр₄ выходит на предвендинскую эрозионную поверхность, в ее разрезе преобладают серые со слабым кремоватым оттенком строматолитовые доломиты. Последние неравномерно пронизаны микрослойками, прожилками, гнездами и мелкими включениями светло-серого, белого, прозрачного вторичного крупнокристаллического доломита, иногда кремния, кварца и ангидрита. Все это придает доломитам узорчатый и полосчато- пятнистый облик.

Отложения Юр₃ распространены по всему месторождению на доступных для бурения глубинах, в западной части месторождения (скв. Юр-56, 8, 10, 12, 25, 28, 46, 50, 57) они выходят на предвендинскую эрозионную поверхность, погружаясь в восточном направлении до глубины 2368-2580 м, где имеют максимальную мощность 212 м в скв. Юр-30. Во всех скважинах отложения горизонта Юр₃ продуктивны на нефть и газ.

Детальное изучение керна скв. Юр-272 показало, что в основании разреза преобладают доломиты реликтово строматолитовые сильноокремненные, мелкокристаллические. Окремнение неоднородное, встречаются многочисленные мелкие каверны. Выше по разрезу доломиты обломочные, брекчииевидные микрокристаллические, сильноокремненные, с интракластами и отдельными крупными линзами халцедона. Часть обломков сложена тонкослоистыми доломитами, в которых угадывается первичная строматолитовая текстура. Кристаллы доломита двух генераций: первичные микрокрис-

таллические и вторичные мелко-тонкокристаллические, заполняющие первичные пустоты в строматолитовом доломите в результате перекристаллизации пород. Присутствуют обломки массивных пород, полностью замещенные кремнеземом.

В интервале 2508-2558 м преобладают доломиты строматолитовые, с волнистой слоистостью. Слоистость представлена чередованием первичных микрокристаллических доломитов и вторичных кремнистых слойков толщиной 0,5-2,0 см, частично заместивших вторично доломитизированные прослои в породе. Присутствуют единичные крупные линзы (размером до 6 см), выполненные халцедоном, в которых развита сложная система взаимопересекающихся трещин различной морфологии и ориентировки, вдоль полостей трещин развиты щелевидные каверны.

Верхнеюрубченская подтолща выходит узкой полосой на предвендскую эрозионную поверхность, в скв. Юр-30 она вскрыта на полную мощность. Подтолща разделяется на две части — Юр₂ (глубина 2320-2368 м) и Юр₁ (глубина 2292-2320 м). Литологическое изучение показало, что породы сложены доломитами красно-коричневого и серого цветов, с остатками водорослей, троматолитов, брекчий, прослоями аргиллитов.

проволнистослоистыми доломитами от светло-серого до темно-серого цвета. Мощность толщи изменяется от 63 м (скв. Юр-54) до 96 м (скв. Юр-100).

микроволнистослоистыми доломитами от светло-серого до темно-серого цвета. Мощность толщи изменяется от 53 м (скв. Юр-54) до 96 м (скв. Юр-100).

В скв. Юр-31 толща выходит на предвендинскую эрозионную поверхность, сложена доломитом с прослойями аргиллитов. Доломит строматолитовый волнисто-слоистый, мелкокристаллический, участками переходящий в среднекристаллические разности, трещиноватый. Встречаются мелкие каверны, выполненные кристаллами доломита мелко-среднезернистого.

Куюмбинская толща (Кмб) представлена доломитами пластово-строматолитовыми в виде чередования различных по мощности пачек светло-серого, серого и темно-серого цветов. Доломиты микро-мелкокристаллические лапчатые, микроволнисто-слойчатые, узорчатые. Толща в полном объеме вскрыта скв. Мдр-156 (глубина 2728-3202 м), мощность 474 м.

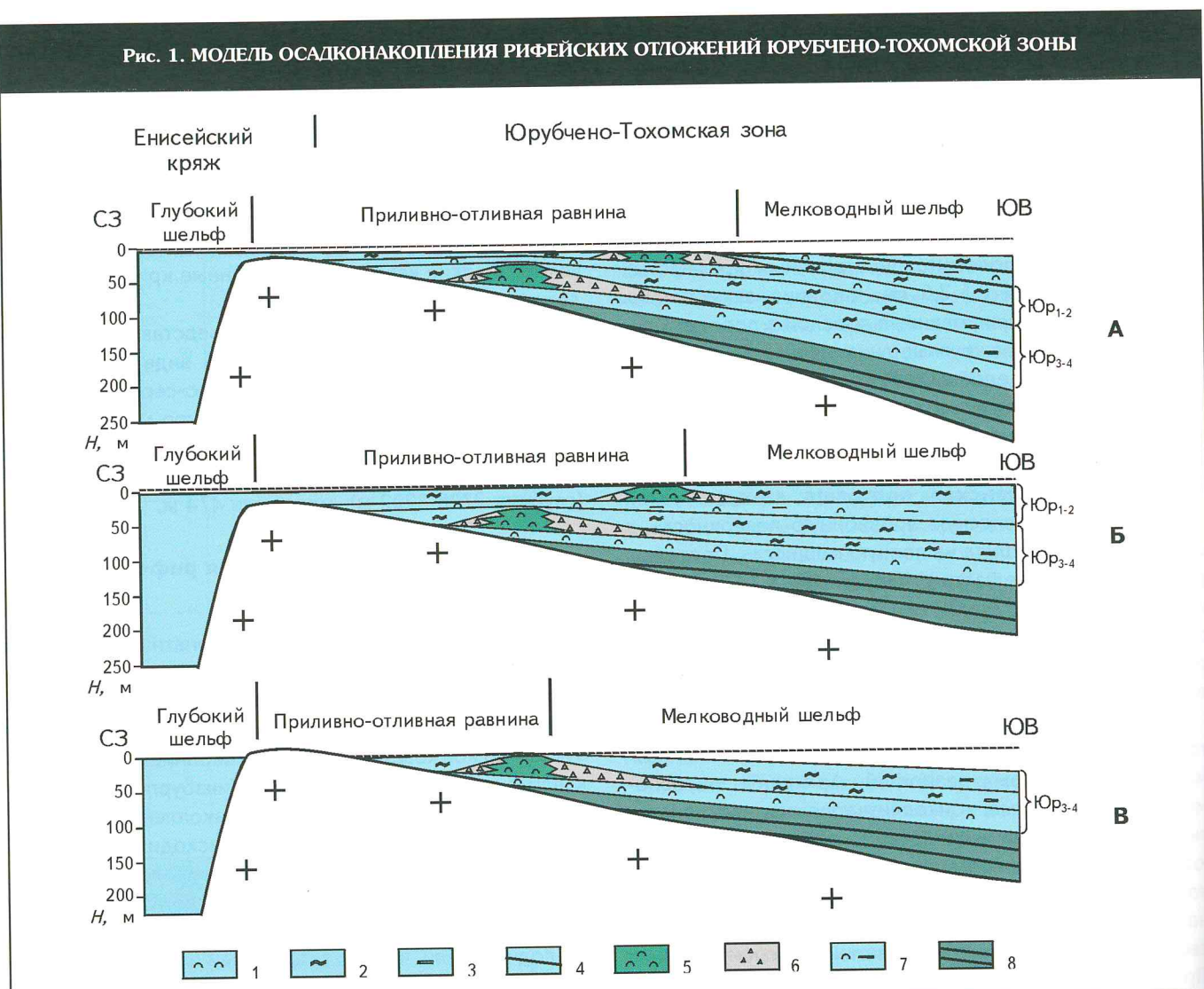
Условия осадконакопления рифейских отложений

В докембрийское время карбонатные постройки слагались в основном известковистыми водорослями (цианобактериальными сообществами) в форме мелких кустов, нитей или строматолитовыми пластинами, образующими комковатые или плосковолнистые слои, накапливающие ил. По данным Р.Н.Гинзбурга и Дж.Л.Уилсона [4, 5] и Дж.Л.Уилсона [5], накопление синезеленных известковых водорослей происходило в приливно-отливных зонах, относительно мелководных отшнурованных бассейнов глубиной от 10 до 45 м.

В обобщающей работе Р.Н.Гинзбург и И.А.Врей [4] подчеркнули, что тип водорослей и характер их произрастания зависят от солености, температуры, гидродинамики вод и глубины бассейна. Они предложили схему, в которой рассмотрели различные обстановки обитания морских известковых водорослей и показали изменчивость морфологии.

Накопление рифейских отложений Юрубченско-Тохомской зоны происходило в теплом неглубоком морском бассейне, о чем свидетельствуют текстурно-структурные особенности синезеленых водорослевых, преимущественно строматолитовых пород доломитового состава [6]. Строматолиты — прикрепленные к субстрату карбонатные, реже кремнистые постройки, возникающие в результате жизнедеятельности синезеленых водорослей и бактерий. По мнению Т.А.Дольник [7], они повсеместно распространены в карбонатных толщах Сибирской платформы. Цианобактериальные сообщества в процессе жизнедеятельности усваивали растворенный в воде углекислый газ, что вело к повышению pH морской воды до 9, даже 11. Высокощелочная среда и предопределила доломитовый состав строматолитов, поскольку магнезиальные соединения осаждаются при pH выше 9.

Рис. 1. МОДЕЛЬ ОСАДКОНАКОПЛЕНИЯ РИФЕЙСКИХ ОТЛОЖЕНИЙ ЮРУБЧЕНО-ТОХОМСКОЙ ЗОНЫ



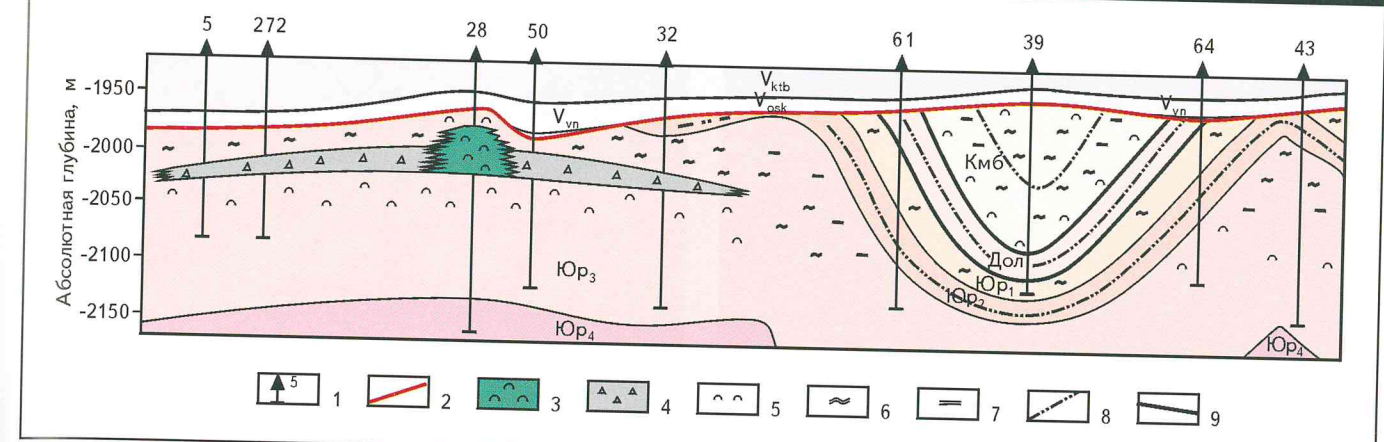
Время: А – долготинско-куюбинское, Б – позднеюрубченское, В – раннеюрубченское; 1 – пластово-строматолитовые доломиты мелководного шельфа, образующиеся в неодинаковой гидродинамической обстановке; 2 – волнисто-слоистые строматолитовые доломиты мелководного шельфа и приливно-отливной равнины (ниже уровня отливов) с активной гидродинамической обстановкой; 3 – горизонтально-слоистые строматолитовые доломиты относительно погруженного мелководного шельфа, образующиеся в спокойной гидродинамической обстановке; 4 – глины и аргиллиты; 5 – куполовидные строматолитовые постройки приливно-отливной зоны; 6 – обломочные кремнисто-карбонатные отложения; 7 – глинистые строматолитовые доломиты мелководного шельфа, образующиеся в спокойной гидродинамической обстановке; 8 – глинисто-карбонатные породы вэдрешевской и мадринской толщ (предполагаемые нефтематеринские толщи)

Особенности обстановок осадконакопления оказали очень большое влияние на сложное строение и морфологию пустот, образующихся в известковых водорослях. Дж. Уилсон [5] описывает волюки синезеленых водорослей, которые образуют полуустойчивую открытую сеть, в нее проникают и задерживаются известковый ил и песчаные зерна. Слизистые выделения водорослей в сочетании с тонкими нитями действуют как строительные элементы. Внутренней известковой постройки у водорослей не наблюдается, однако сохраняется тонкая слойчатость, отражающая периодическое накопление ила.

Модель осадконакопления рифейских отложений Юрубченко-Тохомской зоны отражает изменение гидродинамических условий седиментации и характер пространственного размещения различных литогенетических типов пород по разрезу и площади. Наиболее развиты строматолитовые доломиты разнообразных форм: пластовые, волнисто- и горизонтально-слоистые, куполовидные постройки и продукты их разрушения, обломки и доломито-кремнистые брекции.

На представленной модели (рис. 1) выделены три принципиально различных по времени и генезису этапа

Рис. 2. ПРИНЦИПИАЛЬНАЯ МОДЕЛЬ ФОРМИРОВАНИЯ ЮРУБЧЕНСКИХ ОТЛОЖЕНИЙ ЮРУБЧЕНО-ТОХОМСКОГО МЕСТОРОЖДЕНИЯ



1 – скважина; 2 – предвенская эрозионная поверхность; 3 – куполовидные строматолитовые постройки; 4 – обломочные кремнисто-карбонатные отложения; 5 – пластово-строматолитовые, 6 – волнисто-слоистые строматолитовые, 7 – горизонтально-слоистые строматолитовые, 8 – глинистые строматолитовые; 9 – глины и аргиллиты

формирования строматолитовых доломитов, подчеркнута возможность образования водорослевых построек, разрушение которых сопровождается накоплением обломочных кремнисто-карбонатных отложений. На заключительном этапе в долготинское и куюбинское время в наиболее погруженных частях бассейна накапливаются глинистые строматолитовые доломиты, а также глины и аргиллиты. На модели показаны существенно различные породы по литологическому составу, накапливающиеся в приливно-отливной равнине и на мелководном шельфе.

В раннеюрубченское время в районе скв. Юр-28 можно предположить наличие небольшой иловой постройки (рис. 2) в отложениях Юр_3 , сложенной доломитом строматолитовым тонко-микрозернистым с остатками водорослей, включениями крупнозернистого доломита и кремнезема. Породы сильно перекристаллизованы, присутствуют мелкие каверны, частично выполненные вторичными кристаллами доломита, густки сложены пелитоморфным и микрозернистым доломитом.

Иловые постройки характеризуются непостоянством размеров в диаметре и морфологически разделяются на симметричные в поперечном сечении, куполовидные или уплощенно-линзовидные образования. Вокруг иловых построек, которые подвергаются сильным волновым воздействиям и часто выходят на дневную поверхность, формируются обломочные строматолитовые кремнисто-доломитовые разности. Мощность их непостоянна, изменяется от 8-10 м в скв. Юр-56, 13, 272, до 15-20 м – скв. Юр-50, 30, 32 (см. рис. 2). Обломки неправильной формы имеют размер от 1,5 до 4,0 см и более, состоят из доломитов микрокристаллических

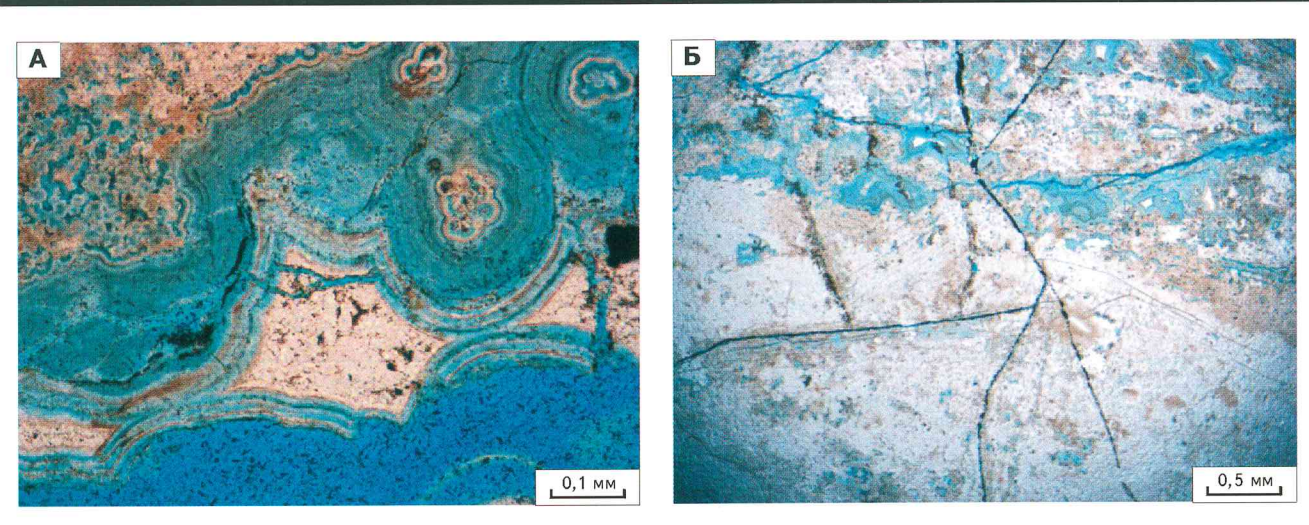
тонкослоистых, в которых угадывается первичная строматолитовая текстура, и интракластовых разностей, они нередко замещены кремнеземом. Вокруг обломков образуются извилистые тонкие трещины, заполненные темно-коричневым глинисто-битуминозным веществом.

В позднеюрубченское время в районе скв. Юр-32, 61, 64, 39, 43 наблюдается резкое изменение обстановок седиментации, происходит погружение бассейна осадконакопления в восточной части Юрубченко-Тохомского месторождения. В результате накапливаются слабоглинистые доломиты горизонта Юр_2 с прослойями аргиллитов красно-коричневого цвета.

Отложения горизонта Юр_1 отлагались в относительно мелководном бассейне с преобладанием непостоянных гидродинамических условий. Зона активной гидродинамики, вероятнее всего, развивалась вблизи береговой линии, что подтверждается периодическим появлением в разрезе пластово-строматолитовых доломитов. Также об этом свидетельствуют признаки, указывающие на неоднократный выход пород на дневную поверхность, – развитие многочисленных каверн и пустот, впоследствии залеченных вторичными минералами, что является свидетельством регressive изменения в карбонатных отложениях.

Роль постседиментационных процессов в формировании пустотного пространства рифейских доломитов. Седиментационная первичная неоднородность строения водорослевых и строматолитовых доломитов рифея предопределила направленность и интенсивность постседиментационных преобразований, что проявилось в изменчивости текстурно-структурных свойств и образовании большого числа литогенетических типов пород.

Рис. 3. ЗНАЧИТЕЛЬНАЯ НЕОДНОРОДНОСТЬ СТРОЕНИЯ И ИЗМЕНЧИВОСТЬ ГЕОМЕТРИИ ПУСТОТНОГО ПРОСТРАНСТВА В ДОЛОМITE СТРОМАТОЛИТОВОМ ОКРЕМНЕНИИ



А – заполнение каверны сферолитовыми агрегатами халцедона, Б – развитие пересекающихся микротрешин, частично заполненных кремнеземом (халцедоном) (Юрубченко-Тохомское месторождение, скв. Юр-272, шлиф 16, глубина 2558,87 м, николи |||)

Детальное исследование и анализ условий осадконакопления рифейских отложений показали, что в приливно-отливной зоне в водах с повышенным содержанием магния и неодинаковым придонно-иловым режимом формировались первичные строматолитовые доломиты. По мнению Дж. Уилсона [5], образование строматолитовых доломитов характеризуется незначительной первичной пористостью, плотной, практически непроницаемой матрицей, и сложной геометрией пустотного пространства. Первичные седиментационные особенности осадка, плотность упаковки, текстурно-структурные свойства, минеральный состав определяются природой осаждающегося материала и скоростью его литификации. Эти факторы играют решающую роль в формировании пустотного пространства сложных типов коллекторов.

Наиболее важным этапом в создании пустотного пространства рифейских отложений служат тектонические процессы, предпосылки к формированию трещиноватости закладываются в стадию седиментогенеза и зависят от пластичности пород. Химически более чистые карбонатные породы (более хрупкие) подвержены развитию трещиноватости, обилие глинистого материала делает породы пластичными и препятствует образованию трещин. Не менее важным свойством карбонатных пород, влияющим на формирование коллекторов, является их способность к растворению и последующему выносу материала (выщелачиванию) из плотной матрицы и полостей трещин.

Изучение постседиментационных преобразований рифейских отложений выявило значительную неоднозначность и интенсивность проявления процессов трещинообразования, перекристаллизации, окремнения и

выщелачивания, наибольшее их влияние проявилось в горизонте Юр₃. В периоды неоднократных кратковременных осушений происходили процессы выщелачивания с образованием пустот и щелевидных каверн в строматолитовых доломитах. Частично они заполнялись крупнокристаллическим доломитом, кремнеземом и реже кварцем.

Наиболее интенсивно процессы карстования проходили во время предвенского размыва, что обеспечило образование карстовых полостей, встреченных в ряде скважин (Юр-8, 14, 25, 28, 44 и др.) в виде провалов и поглощения бурового раствора.

Комплексное исследование пород по разрезу скв. Юр-56, 8, 19, 21, 25, 28 и др. показало, что совокупное влияние постседиментационных преобразований обусловило сложное строение и морфологию пустот и закономерности изменения эффективной емкости и проницаемости в резервуаре.

Перекристаллизация широко распространена в породах юрубченской толщи, она происходит в результате неоднократного подъема отложений вверх и под влиянием активной циркуляции подземных вод. Развитию перекристаллизации способствует неодинаковая растворимость кристаллов различной размерности. Исследования [8] показали, что поровый раствор, насыщенный по отношению к средним зернам, будет недонасыщен по отношению к мелким и перенасыщен для крупных. Кроме того, в одной и той же породе мелкие зерна находятся под большим внутренним давлением, чем крупные.

Перекристаллизация происходит неравномерно и зависит от формы контактов кристаллов друг с другом.

В отложениях Юрубченко-Тохомского месторождения перекристаллизация выражается в укрупнении размеров кристаллов доломита, особенностью рифейских карбонатов является конформное расположение кристаллов, поэтому процессы перекристаллизации напрямую не влияют на изменение коллекторских свойств, в то же время развитие разнокристаллических участков в доломите увеличивает склонность к образованию трещин и каверн.

Выщелачивание в рифейских отложениях происходит на разных стадиях литогенеза. Самое раннее – в строматолитовых доломитах при обмелении морского бассейна, в результате чего образовались крупные каверны, сообщающиеся между собой. Каверны довольно быстро заполнялись яснокристаллическим доломитом, реже – кремнеземом. Следующая стадия образования пустот тесно связана с формированием в доломитах сектущих трещин различной ориентировки, по которым мигрировали агрессивные растворы, насыщенные кремнеземом и углекислотой, способствующие растворению доломитов и частичной инкрустации стенок пустот кремнеземом. Формирование каверн различного генезиса и формы в значительной степени увеличивало полезную емкость изученных отложений рифея.

Окремнение – наиболее интересный и сложный процесс, протекавший в рифейских отложениях. Оно отмечено во всех типах доломитов, но генезис кремнезема, характер распространения и его количество существенно различаются.

В строматолитовых доломитах окремнение многостадийно. Во-первых, уже в начале диагенеза кремнезем может выполнять первичные пустоты, во-вторых, на более поздних стадиях литогенеза породы, подвергшиеся растрескиванию, активно выщелачивались, новообразованные пустоты либо практически сразу выполнялись доломитом, либо позднее – халцедоном. Морфология и размеры подобного окремнения весьма разнообразны (рис. 3). Встречаются небольшие, часто удлиненные линзы халцедона, а также крупные полости, в которых видны стадии их постепенного выполнения от периферии к центру. Линзы и стяжения кремнезема, как правило, отделены от основной массы породы корочкой, вдоль которой развиваются стилолитоподобные извилистые трещины, заполненные глинистым или органическим веществом. Отмечено, что во всех породах, содержащих окремненные полости, присутствуют крупные трещины, играющие роль подводящих каналов, по которым в породу проникали растворы, выщелачивающие доломит и поставляющие материал для кристаллизации кремнезема.

Повышенное содержание кремнезема в верхней части рифейской толщи обусловлено длительным предвенским перерывом, во время которого шло образование коры выветривания, происходило интенсивное раз-

Рис. 4. ДОЛОМИТ РАЗНОКРИСТАЛЛИЧЕСКИЙ

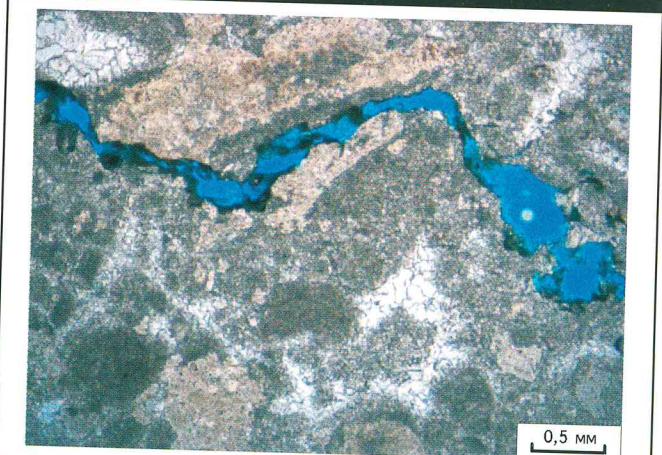


Полости каверн заполнены вторичными кристаллами кальцита и пирита (Юрубченко-Тохомское месторождение, скв. Юр-57, шлиф 8802, глубина 2356,8 м, николи |||)

вление карста в доломитах и наблюдался активный режим циркуляции подземных вод по сложной системе трещин [9].

Процесс образования трещиноватости наиболее интенсивно протекал в пластах, неравномерно обогащенных кремнистым материалом. Неодинаковые прочностные свойства, хрупкость пород, постоянный принос SiO₂ – все это обусловило развитие в рифеях сложной системы трещин различной ориентировки и длины, вдоль полостей которых развиваются щелевидные пустоты выщелачивания (рис. 4, 5).

Рис. 5. ОТКРЫТАЯ СТИЛОЛИТОПОДОБНАЯ ТРЕЩИНА С ПУСТОТАМИ ВЫЩЕЛАЧИВАНИЯ В ОБЛОМОЧНОМ ОКРЕМНЕНИИ ДОЛОМИТА



Юрубченко-Тохомское месторождение, скв. Юр-30, шлиф 8812, глубина 2336,1 м, николи X

Образование секущих трещин вертикальной и наклонной ориентировок в верхней части рифейской толщи в окремненных доломитах и кремнистых породах обеспечило активное движение подземных вод и растворов, обогащенных железом, магнием, кремнеземом и впоследствии УВ в толще рифея, что способствовало образованию сложного резервуара. Конкремции и линзы кремния отличаются по форме и размерам: они округлые, удлиненные, извилистые, их диаметр от 0,5 до 80,0-100,0 мм, реже более. Цвет кремней весьма разнообразен: от белого, розовато-желтого, красновато-вишневого до зеленовато-голубого. В разрезе скв. Юр-56, 28 и 30 встречены желваки кремнезема черного цвета, окраска которых обусловлена примесью битума и углистого вещества. Стяжения кремнезема неправильной, причудливой формы встречены в доломитах пятнистых, неравномерно перекристаллизованных, брекчированных, нередко кремнезем частично или полностью заполняет мелкие удлиненные щелевидные каверны и трещины.

Следует отметить, что при изучении шлифов и керна в породах всегда наблюдается развитие вокруг линз кремнезема тонких извилистых стилолитоподобных трещин, заполненных зеленоватым глинистым веществом (хлорит?).

К более поздним стадиям диагенеза следует отнести кремнезем, который полностью инкрюстирует каверны выщелачивания и стенки крупных секущих трещин в основном вертикальной ориентировки. В этих пустотах наблюдается также рост крупных кристаллов вторично-го кварца, кальцита (см. рис. 4). Окремнение обычно сопровождается интенсивной перекристаллизацией доломитов.

Роль трещиноватости в формировании коллекторских свойств рифейских отложений Юрубченско-Тохомской зоны переоценить сложно, поскольку именно трещины являются проводящими каналами для миграции минерализованных растворов, способствующих выщелачиванию и окремнению пород, они играют основную роль при фильтрации УВ. Следует подчеркнуть, что открытые микротрещины, широко развитые в продуктивной толще рифея, своим возникновением обязаны тектоническим процессам, но морфология, раскрытость и протяженность их обусловлены литогенетическими особенностями образования доломитов и дальнейшим движением по ним подземных вод.

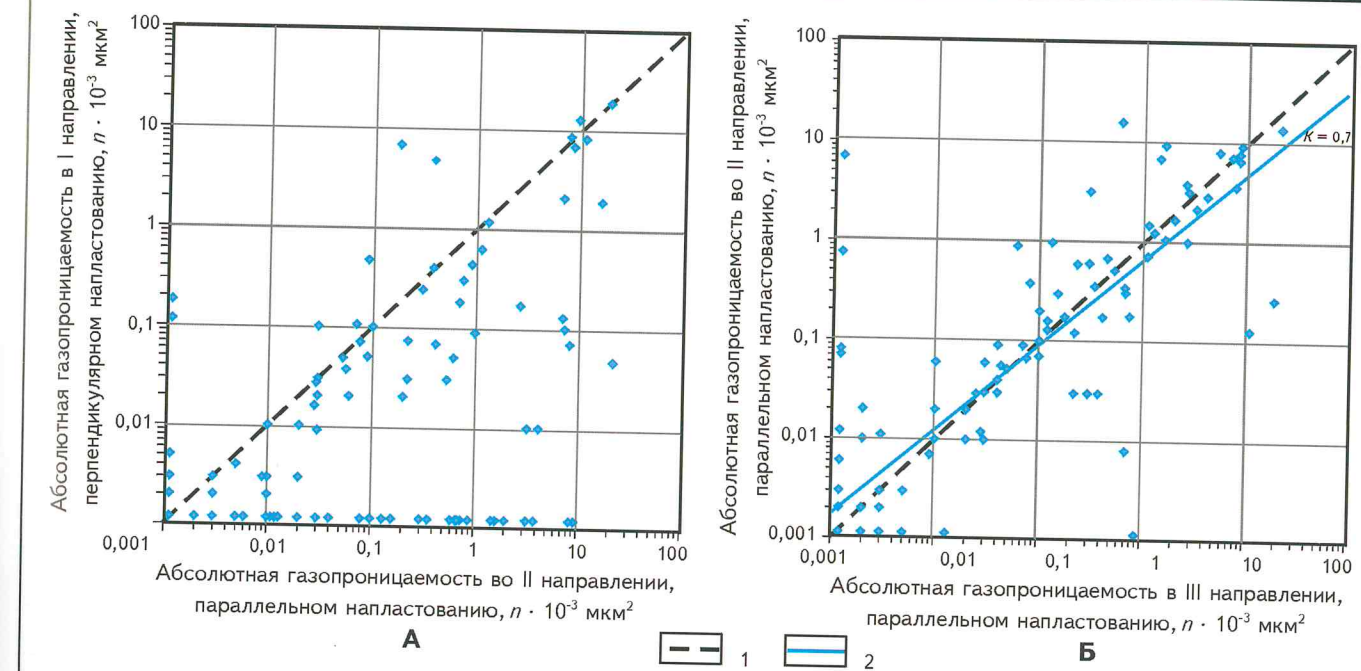
Трещины в изученных отложениях рифея развиты довольно широко. Они бывают прямыми вертикальной, наклонной и горизонтальной ориентировок, извилистыми, стилолитоподобными, минерализованными. Вдоль открытых трещин нередко образуются вытянутые щелевидные каверны, частично заполненные кремнеземом, реже — крупными кристаллами

кварца или доломита (см. рис. 5). Трещины имеют различный генезис и время образования. Вертикальные трещины, в которых отмечается рост новых крупных кристаллов доломита, относятся к наиболее ранней генерации, они длительное время оставались открытыми и определяли пути миграции подземных вод. Несмотря на частичное заполнение полостей секущих трещин вторичными кристаллами, они сохранили фильтрационные свойства до настоящего времени и определяют проводимость флюидов в вертикальном направлении. Отмечено, что окремненные разности обладают лучшими фильтрационно-емкостными свойствами, чем чистые доломиты. Это можно объяснить тем, что растрескивание пород приводит к увеличению проницаемости, миграции агрессивных растворов. Окремнение, связанное с этими трещинами, может являться поисковым признаком высокоеемких нефтесыщенных коллекторов. Окремненные породы обладают трещиноватостью и, как следствие, хорошиими коллекторскими свойствами.

Фильтрационные характеристики продуктивных отложений рифея изучены на больших образцах кубической формы с гранью 5 см. Определение абсолютной газопроницаемости в трех взаимоперпендикулярных направлениях позволяет выявить основные пути фильтрации УВ. Фильтрационно-емкостные свойства доломитов изменяются в зависимости от ориентировки трещин: сравнение проницаемости по вертикальному и горизонтальному направлениям, а также по двум направлениям, характеризующим изменение фильтрации по горизонтальным трещинам (рис. 6, А, Б). Расположение точек вблизи линии равных значений свидетельствует об изотропности фильтрационных характеристик, типичной для поровых коллекторов либо для пород с системой секущих трещин вертикальной и горизонтальной ориентировок. Измеренные значения коэффициента проницаемости по образцам в основном находятся в пределах от 10 до $(100-200) \cdot 10^{-3} \text{ мкм}^2$ (табл. 2). В большом числе образцов в скв. Юр-14, 19, 28, 43 проницаемость за счет развития секущих трещин вертикальной ориентировки достигает величин $(300-400) \cdot 10^{-3} \text{ мкм}^2$, реже до $862,6 \cdot 10^{-3} \text{ мкм}^2$. Полученные результаты не являются доказательством незначительного числа вертикальных и наклонных трещин, поскольку секущие трещины обладают большой раскрытостью и они плохо сохраняются при обработке керна.

Анализ смещения точек относительно линии равных значений показал, что для изученных образцов из продуктивных отложений рифея характерна резкая анизотропия фильтрационных свойств по взаимно перпендикулярным направлениям, что свойственно сложным типам коллекторов (см. рис. 6, А). Значительная часть точек легла на ось абсцисс, что объясняется преимущественным развитием трещин горизонтальной ориенти-

Рис. 6. ИЗМЕНЕНИЕ ОРИЕНТИРОВАННОЙ ГАЗОПРОНИЦАЕМОСТИ по I (А) и II (Б) НАПРАВЛЕНИЯМ
В ДОЛОМИТАХ ЮРУБЧЕНСКОЙ ТОЛЩИ ЮРУБЧЕНО-ТОХОМСКОГО МЕСТОРОЖДЕНИЯ



Линия: 1 – равных значений проницаемости, 2 – корреляции; K – коэффициент корреляции

ровки. В нескольких образцах (образец 12 скв. Юр-272, образец 8788 скв. Юр-106, образец 140 скв. Юр-19) определены существенные значения проницаемости как вдоль, так и поперек напластования. Проницаемость достигает величин $(20-200) \cdot 10^{-3} \text{ мкм}^2$. Анализ изменчивости трещиноватости показал, что в этих образцах выявлено развитие взаимосвязанной системы трещин различной ориентировки, которые обеспечили высокую фильтрацию в разных направлениях.

В продуктивных отложениях юрубченской толщи выявлено большое число трещин горизонтальной ориентировки. Они различны по форме, степени раскрытия, генезису и оказывают неодинаковое влияние на формирование нефти и газа. Изменение газопроницаемости по двум параллельным напластованием направлениям обусловлено развитием горизонтальных трещин. Проницаемость при преобладающем развитии горизонтальных трещин изменяется в диапазоне от 10^{-6} до $0,1 \text{ мкм}^2$. Представленный график (см. рис. 6, Б) отражает практически неоднозначную величину проницаемости по направлениям. Увеличение фильтрационно-емкостных свойств обычно наблюдается в разностях доломита с одновременным наличием каверн. Очень большую роль играет степень связности горизонтальных трещин, что проявляется на фотоснимках в ультрафиолетовом свете за счет развития тонких коротких трещин, соединяющих секущие.

Определение эффективной емкости

Продуктивные отложения рифея отличаются значительной дифференциацией фильтрационно-емкостных свойств по разрезу в связи с сильной изменчивостью трещиноватости и увеличением ширины трещин за счет выщелачивания. Максимальные значения эффективной емкости достигают 3-6 %, реже — более и характерны для каверново-трещинного типа коллектора продуктивных отложений скв. Юр-8, 14, 25, 28, 32, 50. Среднее значение эффективной емкости для трещинных коллекторов — 1,5-2,0 %.

Важным моментом в определении емкости сложных типов коллекторов юрубченской толщи является использование капиллярной пропитки люминофором кубиков с гранью 5 см. Полнота насыщения образца определяется режимом вакуумирования, а главное — капиллярной подпиткой образца. Изучение керна показало, что применение стандартных образцов цилиндров для определения пустотного пространства рифейских доломитов Юрубченско-Тохомского месторождения не позволяет получить достоверных данных по следующим причинам:

1 — влияние маленького размера и формы образца в виде цилиндров дает заниженное значение емкости в сложных типах коллекторов;

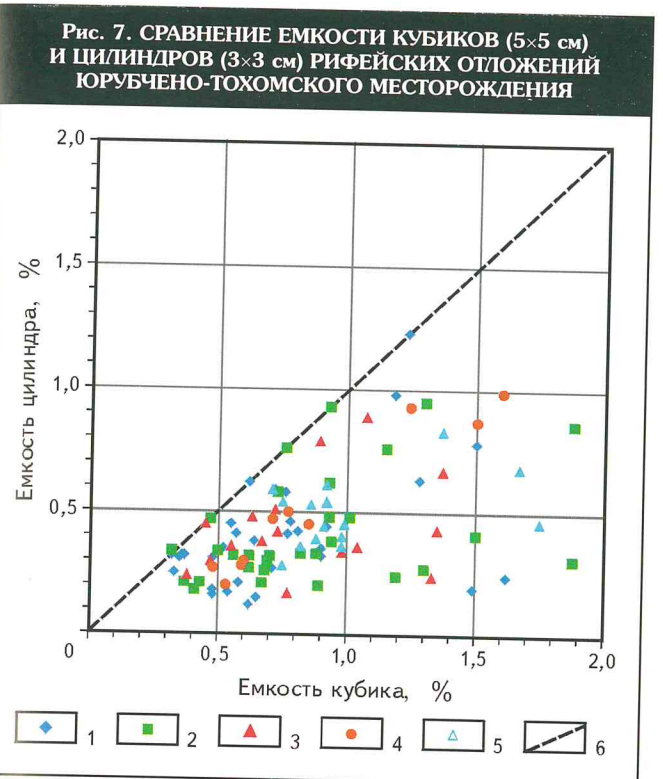
2 — невозможность определения ориентированной газопроницаемости по трем направлениям, что не позволяет выявить основные направления фильтрации.

Таблица 2

Сравнение емкости по кубикам (5×5 см) и цилиндром (3×3 см) рифейских отложений Юрубченско-Тохомского месторождения

Номер образца	Глубина отбора, м	Емкость пустот, %		Проницаемость, $n \cdot 10^{-3} \text{ мкм}^2$	Краткая литологическая характеристика
		кубик	цилиндр		
Скв. Юр-14					
56	2393,8	0,71	0,27	179,40	Доломит окремненный, трещиноватый
81	2410,4	1,49	0,19	483,20	То же
95	2425,6	0,90	0,32	63,25	Доломит кавернозный, трещиноватый
122	2441,1	1,18	0,98	285,30	Доломит окремненный
168	2465,7	2,74	1,90	64,80	То же
193	2480,7	1,50	0,78	826,60	Доломит трещиноватый окремненный, кавернозный
201	2483,1	1,28	0,63	44,37	Доломит окремненный, трещиноватый
205	2484,4	1,62	0,24	0,27	Доломит окремненный, трещиноватый, кавернозный
210	2496,3	2,08	0,69	70,31	Доломит трещиноватый
Скв. Юр-18					
153	2379,2	3,37	0,65	243,80	Доломит с кавернами
178	2392,8	1,04	0,36	20,80	Доломит трещиноватый
185	2395,2	1,35	0,43	183,50	Доломит сильнотрещиноватый
250	2425,8	1,37	0,67	55,75	Доломит трещиноватый, окремненный
254	2433,1	1,07	0,89	11,56	То же
Скв. Юр-19					
75	2332,5	5,55	4,96	5,24	Доломит кавернозный, окремненный
119	2366,1	1,67	1,45	65,10	То же
126	2370,3	1,50	0,87	69,55	Доломит трещиноватый
136	2341,0	1,24	0,93	30,37	Доломит трещиноватый, окремненный
140	2381,8	1,60	0,99	202,25	То же
Скв. Юр-28					
34	2407,7	1,88	0,86	342,60	Доломит окремненный, трещиноватый
54	2421,6	1,3	0,27	1,75	Доломит трещиноватый
87	2438,3	0,94	0,21	41,7	То же
146	2470,0	1,34	0,83	130,6	Доломит кавернозный трещиноватый
171	2483,1	1,88	0,31	281,6	Доломит сильнотрещиноватый
171a	2483,2	1,19	0,24	45,03	То же
255	2550,5	1,15	0,62	122,30	Доломит окремненный, трещиноватый
264a	2553,5	1,01	0,48	86,05	Доломит трещиноватый
Скв. Юр-43					
58	2204,3	1,75	0,46	153,18	То же
606	2204,9	1,67	0,68	87,15	То же

Таблица 3



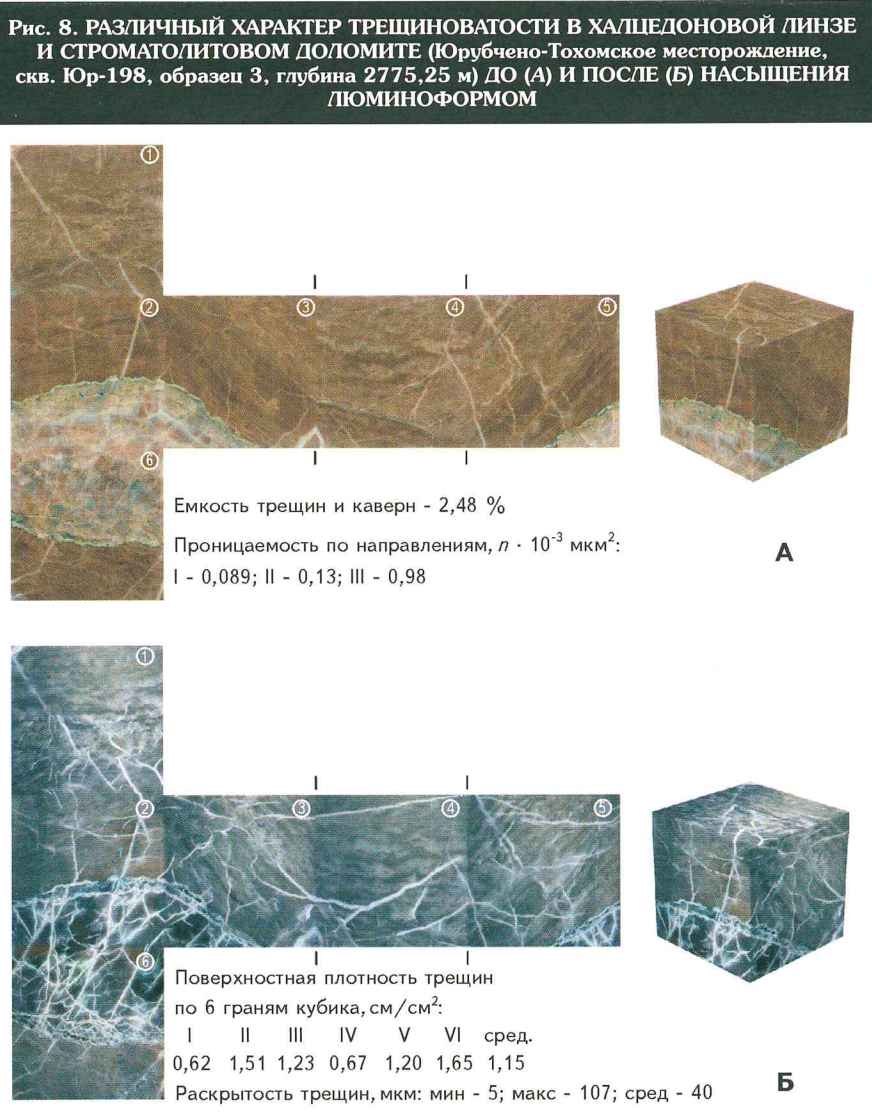
Скважины: 1 – Юр-14; 2 – Юр-28; 3 – Юр-18; 4 – Юр-19; 5 – Юр-43; 6 – линия равных значений

Сложное строение пустотного пространства продуктивных отложений, интенсивное развитие различной трещиноватости, значительная удаленность сектущих трещин друг от друга (3-4 см) выявляются только на кубиках с гранью 5 см. При стандартных исследованиях по цилиндрам сохраняются только одиночные трещины, что приводит к занижению эффективной емкости доломитов.

Сравнительный анализ емкости доломитов, проведенный на кубиках и цилиндрах, позволяет сделать вывод о значительно большей достоверности величин емкости кубиков при насыщении люминофором. Доказательством служит график определения емкости доломитов на образцах кубической формы капиллярным насыщением люминофором и на стандартных образцах – цилиндрах (рис. 7, см. табл. 2). Смещение максимального числа точек от линии равных значений свидетельствует о достоверности метода капиллярной пропитки пород люминофором при определении эффективной емкости по кубикам.

Проведенное сравнение 138 образцов показало значительное расхождение (в 2-3 раза и более) значений емкости, определенных по кубикам и цилиндром, из-за потери крупных пустот в образцах стандартного размера. Сложное пустотное пространство, наличие пустот, открытых трещин сохраняются на кубиках и практически отсутствуют при изучении цилиндром. Таким образом, метод капиллярного насыщения люминофором,

Homep ogranicheniya	Homep krasznikiyi	Liygnya, m	EMKOSTP TPELNUH, %	Поверхностная плотность трещин по граням, см/см ²						Раскрытость трещин, мкм	среднее
				I	II	III	IV	V	VI		
8669	Юр-44	2232,50	1,50	4,800	0,38	0,03	0,56	0,64	0,09	0,40	0,32
8788	Юр-106	2490,00	1,80	8,650	7,86	3,67	0,24	0,56	0,02	0,24	0,24
3	Юр-198	2775,25	2,48	0,089	0,13	0,98	0,62	1,51	1,23	0,67	1,20
5	Юр-198	2776,25	2,56	0,180	0,45	0,69	1,10	0,99	1,30	0,97	1,23
10	Юр-272	2486,25	3,10	18,810	19,20	2,65	0,32	0,46	0,14	0,74	0,15
12	Юр-272	2508,82	2,51	66,780	61,34	173,50	0,78	0,86	0,44	0,89	0,76
18	Юр-272	2575,94	2,50	12,800	1,60	9,50	1,36	1,31	1,28	1,40	1,10



А – доломит серый, тонкослоистый, мелкоизвестковистый; строматолитовая текстура подчеркивается чередованием микротектонических линз и светлых кремнистых прослоев; в породе встречаются крупные линзы, выполненные халцедоном; кремнистая линза отделяется от основной массы породы зеленоватой глауконитовой корочкой, которая образовалась на стенке полости выщелачивания. Б – кремнистый доломит, в котором развита сложная система хорошо взаимосообщающихся фильтрующих трещин; наблюдается различный характер трещиноватости в основной доломитовой породе и крупной линзовидной конкреции, выполненной халцедоном; в конкреции трещины более короткие, пересекающиеся между собой, их раскрытость и ориентировка существенно меньше, чем в доломите; совокупное влияние разноориентированных трещин определяет анизотропию проницаемости; поверхностная плотность средняя ($1,15 \text{ см}^2/\text{см}^2$), раскрытость изменяется от 5 до 107 мкм

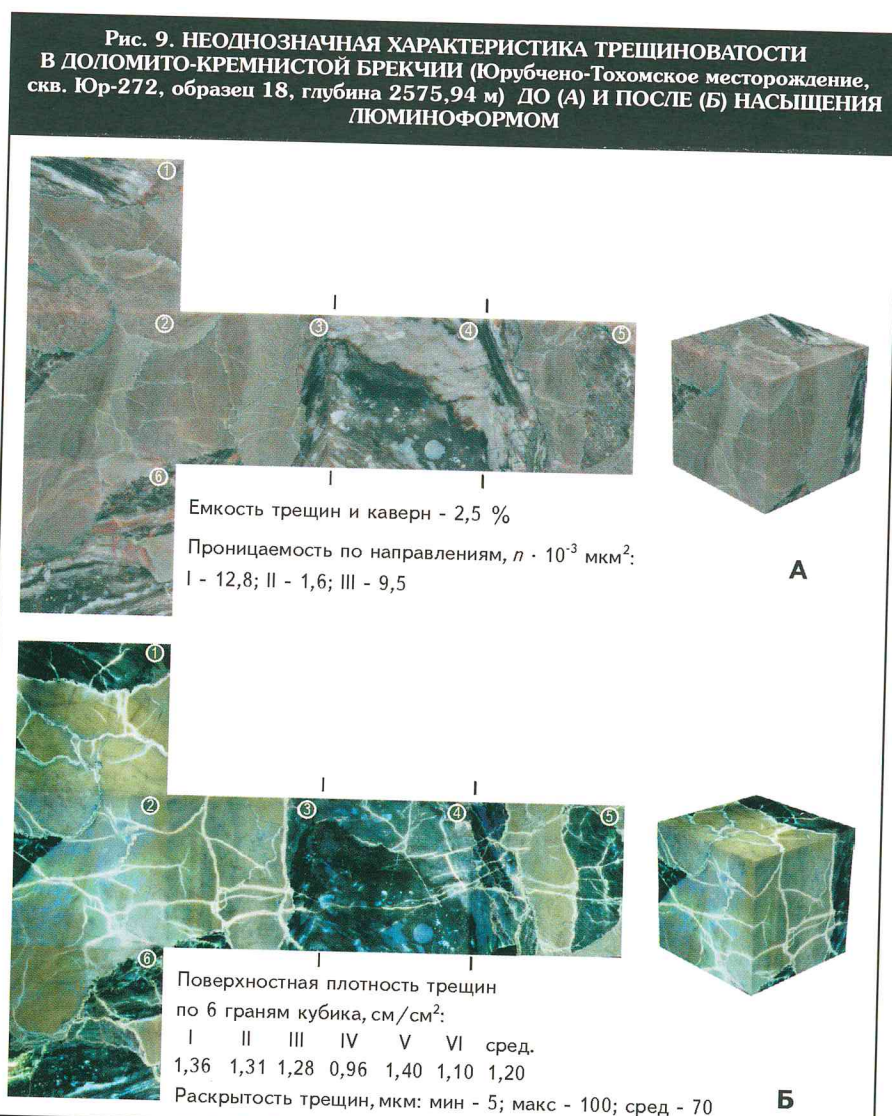
применимый при изучении кавернозно-трещиноватых доломитов, дает более достоверную оценку эффективной емкости.

Трещиноватость в рифейских продуктивных отложениях Юрубченено-Тохомского месторождения развита интенсивно, но весьма неодинакова по разрезу.

Трещины имеют различную морфологию, ориентировку, протяженность и раскрытость. Фотографирование развертки кубика в дневном свете до насыщения люминофором выявляет текстурно-структурные особенности пород и помогает определить условия осадконакопления. Однако по цветным фотоснимкам пород до насыщения люминофором невозможно оценить степень заполненности трещин и пустот, определить влияние трещин на фильтрационные характеристики породы. При использовании метода капиллярного насыщения кубиков люминофором и фотографировании шести граней в источнике ультрафиолетового света появляется возможность оценить количественную характеристику трещин. Полученные фотоснимки позволяют увидеть морфологию трещин, выявить сложное строение пустот, оценить значимость каверн и трещин в емкости и фильтрации. При обработке фотографий граней кубика, снятых в ультрафиолетовом свете после насыщения люминофором, оцениваются количественные параметры трещин: раскрытость, поверхностная плотность, морфология и генезис пустот (табл. 3). Сравнение фотографий, полученных в дневном и ультрафиолетовом свете до и после насыщения образцов люминофором, позволяет дифференцировать открытые фильтрующие трещины и минерализованные – заполненные гидроксидами железа красного и бурого цветов, зеленым или коричневым веществом – при глинизации, а также темными, черными тонами – при их насыщении ОВ. В отдельных интервалах разреза преобладающее развитие имеют плотные разности почти без трещин, в других выявлена си-

полненной халцедоном (рис. 8, А). Порода подвергалась интенсивному выщелачиванию, за счет чего в ней формировались крупные пустоты, которые в течение длительного времени, постепенно в несколько стадий, полностью заполнялись кремнеземом. Кремнистая линза от основной массы породы отделяется зеленоватой глауконитовой корочкой, которая образовалась по стенкам полостей выщелачивания. После насыщения образца люминофором на фотоснимке, сделанном в источнике ультрафиолетового света, выявлено интенсивное развитие трещин различной геометрии (см. рис. 8, Б). В доломите развита сложная система трещин разного времени образования. Трещины первой генерации, выявленные в доломите, секущие, редкие, вертикальной и горизонтальной ориентировки, длиной 4-5 см и средней раскрытостью до 107 мкм. Они частично заполнены вторичными кристаллами и являлись подводящими каналами для растворов, насыщенных кремнеземом при заполнении палеокаверн. В линзе кремнезема трещины более поздней генерации, они короткие (до 1-2 см), взаимопрересекающиеся, их раскрытость существенно меньше, чем в доломите. Неодинаковое развитие трещиноватости в доломите и линзе халцедона отражается на значении поверхностной плотности трещин, в доломите она составляет $0,6-0,7 \text{ см}^2/\text{см}^2$, а в линзе – $1,1-1,4 \text{ см}^2/\text{см}^2$. Таким образом, можно сделать вывод о различном характере трещиноватости в доломите и линзе выполненной халцедоном, которые неодинаково определяют фильтрационно-емкостные свойства. Фильтрация протекает по секущим трещинам развитым в доломите, а эффективная емкость обусловлена развитием тонких коротких трещин в линзе халцедона. Общая эффективная емкость породы достигает 2,48 %.

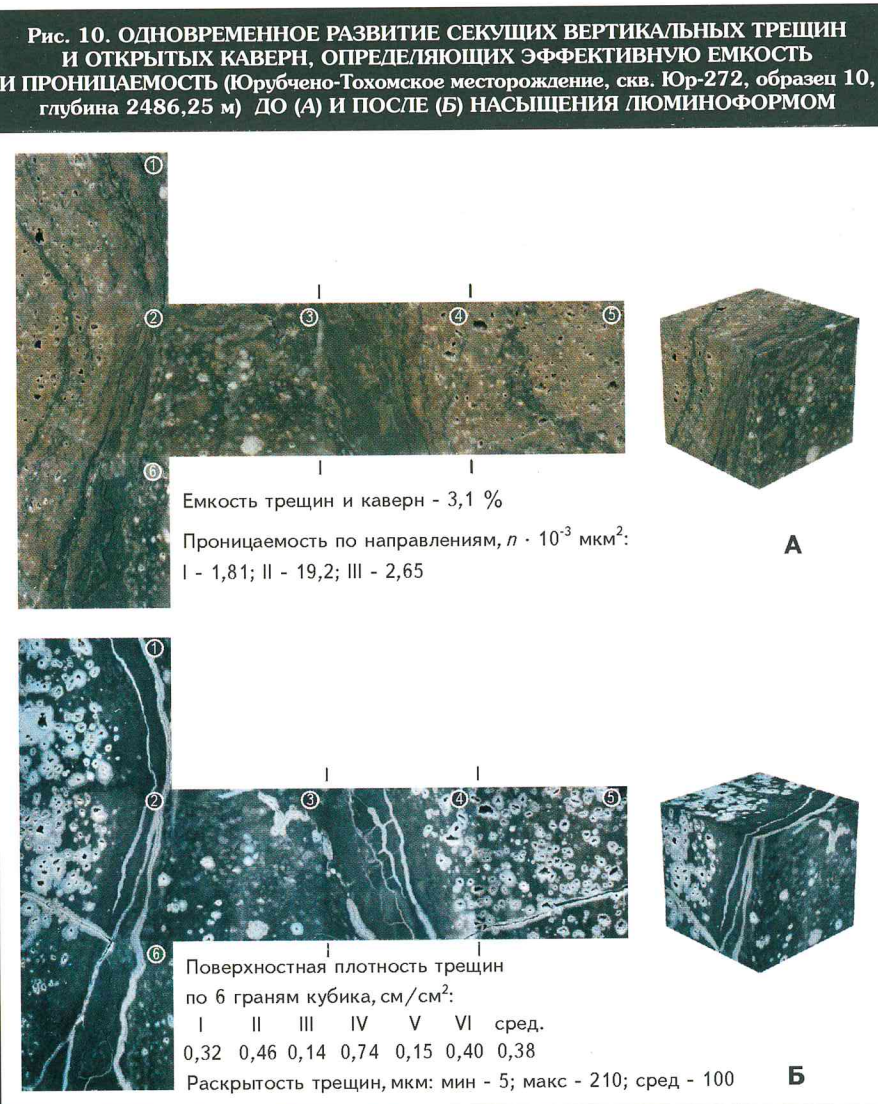
В качестве примера столь же неоднозначного развития трещиноватости можно привести доломито-кремнистую брекцию (образец 18, скв. Юр-272). Обломки брекции неправильной формы имеют размер от 1,5 см до 4,0 см и более, представлены доломитом



дolомито-кремнистая брекция: А – с реликтами первичного строматолитового коричневого тонкослоистого доломита и кремнеземом белого цвета; наблюдаются обломки коричневого доломита неправильной формы, интенсивно разбитые трещинами, внутри встречаются слоистые линзы белого и темно-серого цвета, окаймленные извилистыми трещинами, заполненными частично кремнеземом и глауконитом, Б – существенно различный характер трещиноватости в доломите и кремнистых обломках; в халцедоне трещины извилистые, меньшей раскрытости, нередко окаймляют обломки; в доломите – секущие, определяющие емкость и проницаемость

строматолитовым тонкослоистым и обломками белого и темно-серого халцедона. По границам обломков располагаются трещины шириной до 1-2 мм, частично заполненные темно-коричневым глинисто-битуминозным веществом.

На фотографии, сделанной в ультрафиолетовом свете после насыщения доломито-кремнистой брекции люминофором, отчетливо виден существенно различный характер трещиноватости в строматолитовом доломите и кремнистых обломках (рис. 9). В халцедоне редкие короткие извилистые трещины небольшой рас-



лых окремненных слоев, в которых располагаются многочисленные мелкие каверны преимущественно овальной формы размером 1-5 мм. Почти все каверны открыты, стенки некоторых частично инкрустированы доломитом и белым кремнеземом.

На фотоснимке образца, насыщенного люминофором, отчетливо видны особенности строения и морфология пустот. Трещины секущие, длинные прямые вертикальной ориентировки, осложнены редкими короткими оперяющими трещинками (рис. 10). Одновременное развитие секущих вертикальных трещин и большого числа каверн определяет эффективную емкость до 3,1 % и фильтрационные свойства – $19 \cdot 10^{-3} \text{ мкм}^2$. Проницаемость практически одинакова по всем трем направлениям.

Неодинаковое влияние характера трещиноватости на фильтрационно-емкостные свойства пород можно видеть при сравнении фотографий, насыщенных образцов кубической формы 12 и 5, сделанных в источнике ультрафиолетового света (рис. 11, А).

Образец 12 скв. 272 (см. рис. 11, А) представлен доломитом строматолитовым, тонкослоистым кремнистым. Трещины длинные секущие вертикальной и наклонной ориентировки располагаются на расстоянии более 2 см друг от друга, под углом 90°. Вдоль полостей трещин развиты щелевидные каверны средней раскрытости до 125 мкм, частично выполненные крупными вторичными кристаллами доломита. Совокупность системы секущих трещин и полостей выщелачивания вдоль

крытости (до 15 мкм). В обломках доломита трещины секущие, слабоизвилистые вертикальной и наклонной ориентировки с большой раскрытостью, именно эти трещины определяют существенную емкость (2,5 %) и высокую проницаемость одного порядка по всем трем направлениям до $12,8 \cdot 10^{-3} \text{ мкм}^2$.

Совершенно иной тип коллектора – каверново-трещинный выявлен в образце 10 скв. Юр-272, который представлен доломитом темно-серым, кавернозно-трещинным с ажурной строматолитовой текстурой, подчеркнутой чередованием микритового доломита и свет-

них определяет высокие коллекторские свойства пород: эффективная емкость – 2,51 %, проницаемость по трем направлениям – $(66,8-173,5) \cdot 10^{-3} \text{ мкм}^2$.

Образец 5 скв. 198 (см. рис. 11, Б) также сложен строматолитовым доломитом, но отличается развитием очень большого числа хаотически расположенных взаимопересекающихся тонких коротких трещин различной ориентировки с большой поверхностной плотностью ($1,05 \text{ см}/\text{см}^2$). Вдоль полостей трещин развиты узкие щелевидные каверны выщелачивания шириной до первых миллиметров, за счет чего эффек-

тивная емкость достигает 2,56 %, т.е. практически одинакова с образцом 12. Отсутствие секущих трещин обусловило низкую проницаемость породы. Тем не менее стоит подчеркнуть, что сеть трещин, развитая в образце 5, является питающей для секущих трещин первой генерации и увеличивает в пласте извлекаемые запасы УВ.

Выводы

1. Исследование керна методом капиллярной дефектоскопии дало возможность выявить характер трещиноватости, изучить геометрию пустотного пространства, определить ориентированную газопроницаемость в трех направлениях и дифференцировать эффективную емкость, приуроченную к кавернам и трещинам.

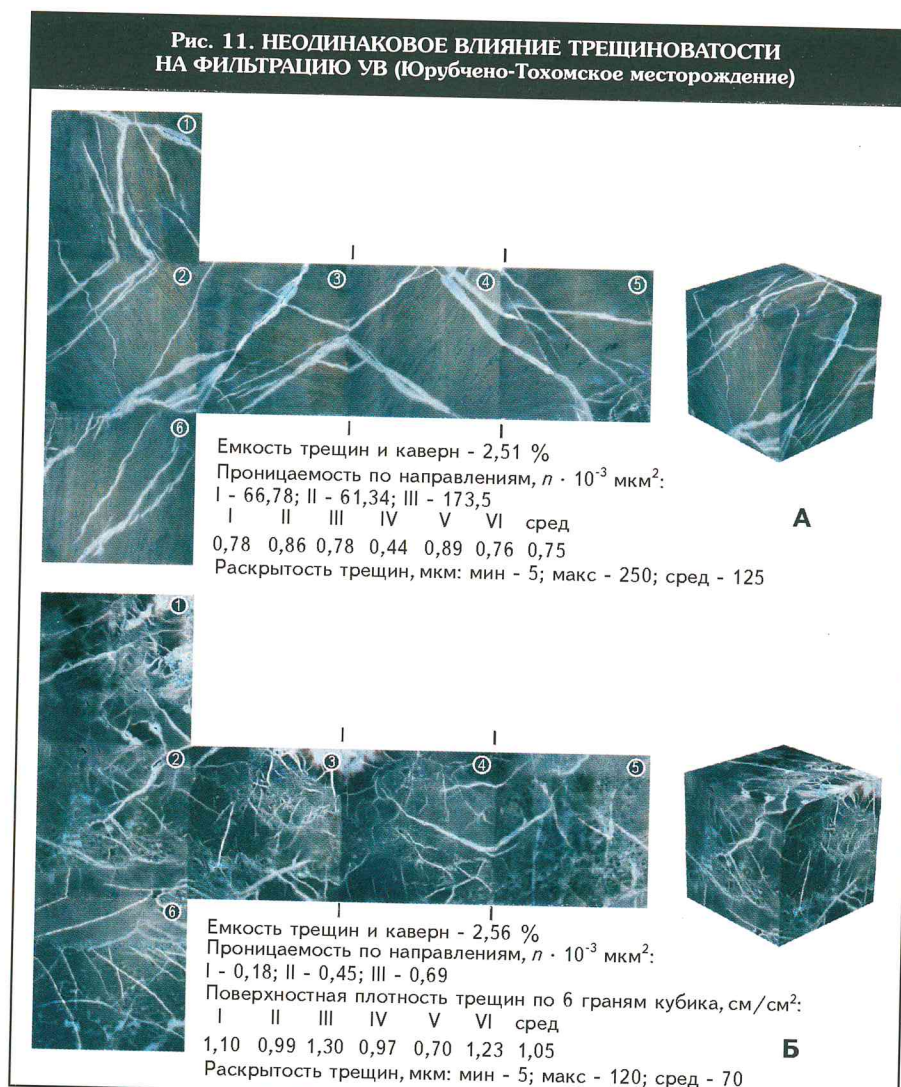
2. В рифейском бассейне доминировал придонно-иловый режим осадконакопления с различными гидродинамическими обстановками, что привело к образованию большого числа литогенетических типов пород, распространенных по площади Юрубченко-Тохомского месторождения.

3. Исследования показали, что совокупное влияние вторичных процессов (трещинообразование, выщелачивание, перекристаллизация и окремнение) обусловило развитие сложного пустотного пространства в строматолитовых доломитах нижнеюрубченской толщи рифея.

4. Большое влияние на формирование сложных типов коллекторов рифея оказал привнос кремнезема различного генезиса и формы. Разное время его прихода неоднозначно влияет на фильтрационно-емкостные свойства. Первичный кремнезем увеличивает хрупкость породы и повышает ее трещиноватость, а следовательно, проницаемость, в то время как появление вторичного кремнезема в виде линз и желваков частично залечивает крупные и мелкие пустоты и палеокаверны, т.е. влияет на эффективную емкость.

5. Выявлен неоднозначный характер трещиноватости в чистом доломите и кремнеземе. В доломите развиты преимущественно крупные прямолинейные секущие трещины вертикальной и наклонной ориентировки, определяющие пути миграции растворов.

Рис. 11. НЕОДИНАКОВОЕ ВЛИЯНИЕ ТРЕЩИНОВАТОСТИ НА ФИЛЬТРАЦИЮ УВ (Юрубченко-Тохомское месторождение)



В кремнистых доломитах и линзах кремнезема (халцедона) преобладают тонкие короткие взаимопересякающиеся трещины различной ориентировки, которые увеличивают эффективную емкость, но мало влияют на проницаемость.

6. Проведенные комплексные исследования позволили выявить, что нижнеюрубченская толща ЮР₃ выдержанна по площади месторождения, характеризуется высокой степенью трещиноватости, обладает высокими фильтрационно-емкостными свойствами и продуктивна на нефть и газ во всех скважинах, т.е. наиболее перспективна в Юрубченко-Тохомском месторождении.

FORMATION CONDITIONS AND PROPERTIES OF THE RIPHEAN CARBONACEOUS RESERVOIRS OF THE YURUBCHENO-TO-KHOMSK DEPOSIT

Bagrintseva K.I. (FGUP "All-Russian Scientific Research Geological Oil Institute"), Krasilnikova N.B. (OAO "RN Krasnoyarsk-NIPIneft"), Sautkin R.S. (FGUP "All-Russian Scientific Research Geological Oil Institute")

The article is devoted to the study of reservoir properties of the Riphean low-capacity carbonaceous sediments of the Yurubcheno-Tokhomskoye field. The authors defined several types of fracturing, presented reservoir properties and described post-sedimentation processes that are determinant for the formation of the oldest ancient reservoirs in the world.

Key words: Yurubcheno-Tokhomskoye field; carbonate reservoirs; fractures; reservoir properties; used a new method of evaluating complex reservoirs, new method.

7. Преобладающее развитие в строматолитовых доломитах толщи ЮР₃ имеет каверново-трещинный тип коллектора, за счет образования щелевидных пустот вдоль полостей трещин.

Литература

1. Багринцева К.И. Условия формирования и свойства карбонатных коллекторов нефти и газа. — М.: Изд-во РГГУ, 1999.

2. Багринцева К.И. Применение капиллярной дефектоскопии в нефтяной геологии для выделения и оценки трещиноватости в горных породах / К.И.Багринцева, Р.С.Сауткин, Г.И.Шершуков // MEGATECH / Новые технологии в промышленной диагностике и безопасности. — 2013. — № 4.

3. Конторович А.Э. Геологическое строение и условия формирования гигантской Юрубченко-Тохомской зоны нефте-

газонакопления в верхнем протерозое Сибирской платформы / А.Э. Конторович, А.Н. Изосимова, А.А. Конторович и др. // Геология и геофизика. — 1996. — Т. 37. — № 8.

4. Ginsburg R.N. Geology of calcareous algal (notes for a short course) / R.N.Ginsburg, R.Resak, I.L.Bray // Sedimenta I. — University of Miami, 1971.

5. Уилсон Дж.Л. Карбонатные фации в геологической истории. пер. с англ. — М.: Недра, 1980.

6. Кузнецов В.Г. Фациальная обусловленность развития коллекторов в рифейских отложениях Юрубченко-Тохомской зоны нефтегазонакопления / В.Г.Кузнецов, Н.М.Скobelева, В.Н.Маркова и др. // Геология нефти и газа. — 2006. — № 6.

7. Дольник Т.А. Строматолиты и микрофитолиты в стратиграфии рифея и венда складчатого обрамления юга Сибирской платформы. — Новосибирск: Изд-во ИГиГ СО РАН, 2000.

8. Коржинский Д.С. Инфильтрационный метасоматоз при наличии температурного градиента и при контактовом метасоматическом выщелачивание // Зап. ВМО. — 1953. — Ч. 82. — Вып. 3.

9. Пустыльников А.М. Происхождение и формы выделения кремнезема в рифейских отложениях Байкитской антиклизы (Сибирская платформа) в связи с проблемой формирования трещинно-каверновых коллекторов / А.М.Пустыльников, Л.Г.Вакуленко // Геология и геофизика. — 1997. — Т. 38. — № 12.

© К.И.Багринцева, Н.Б.Красильникова, Р.С.Сауткин, 2015

Ксения Ивановна Багринцева,
ведущий научный сотрудник,
доктор геолого-минералогических наук,
info@vnigni.ru;

Наталья Борисовна Красильникова,
директор,
krasilnikova NB@kr-nipineft.ru;

Роман Сергеевич Сауткин,
romsau@yahoo.ru

НЕДРА 2015
ENTRAILS 2015

**12-я международная выставка
НЕДРА-2015**
Изучение. Разведка. Добыча

31 марта - 2 апреля 2015 г. **Москва, ВДНХ, павильон № 55**

При поддержке: Совета Федерации Российской Федерации, Комитета Государственной Думы по природным ресурсам, природопользованию и экологии, Торгово-промышленной палаты Российской Федерации

В рамках Деловой программы выставки запланировано проведение научно-технических мероприятий по стратегии развития и использования минерально-сырьевой базы России, в том числе:

Научно-практическая конференция «Война и Геология. 70 лет Победы»

В дни работы выставки будет проходить Фестиваль авторской геологической песни «Люди идут по свету»

Контактная информация: Тел.(499) 760-31-61
E-mail: expo-salon@rambler.ru, info@nedraexpo.ru | www.nedraexpo.ru



УДК 550.812.1

СТРУКТУРНО-ТЕКТОНОФИЗИЧЕСКИЙ МЕТОД ДИСТАНЦИОННЫХ ИССЛЕДОВАНИЙ ПРИ РАЗВЕДКЕ И РАЗРАБОТКЕ МЕСТОРОЖДЕНИЙ НЕФТИ И ГАЗА

Д.М.Трофимов (ООО "РЕСЕНОЙЛ"), **Л.А.Сим** (Институт физики земли им. О.Ю.Шмидта РАН), **М.К.Шубаева** (ООО "РЕСЕНОЙЛ")

Основное преимущество структурно-тектонофизического метода относительно традиционного комплекса работ на нефть и газ заключается в том, что он базируется на данных новейших дистанционных съемок с высоким пространственным и спектральным разрешением, а также непрерывным полем измеряемой информации. Эти съемки обеспечивают получение детальных структурно-геодинамических материалов в широком масштабном ряду. При комплексной интерпретации с дискретной системой состояния резервуаров представляется возможным получить более детальную информацию о структуре и напряженном состоянии резервуаров.

Ключевые слова: структурно-тектонофизический метод; дистанционные съемки; разведка; разработка; сбросы; сдвиги; напряженное состояние; каналы; барьера.

Как весь осадочный чехол, так и резервуары нефти и газа находятся в некотором геодинамическом напряжении, оценка значимости которого имеет практическое значение для их разработки. Напряженное состояние как флюидодинамическое, так и механическое объясняется группой факторов, среди которых ведущими являются региональное тектоническое воздействие и локальные кинематические особенности разрывных нарушений. Комплекс постоянно действующих постскладчатых факторов влияет на переформирование ловушек, заложенных в палеотектонический период, и формирование залежей УВ.

В связи с этим представляется целесообразным изучать современное напряженное состояние осадочного чехла и учитывать действие двух сил: естественных, в основном тектоногеных, оказывающих воздействие на формирование ловушек и залежей, и техногенных, связанных с системой разработки месторождений. Возможность решения этих вопросов во времени или с помощью мониторинга в период проведения разведки и эксплуата-

ции стала достижимой при появлении в 2000-х гг. новых высокоразрешающих съемок из космоса. Они обеспечивают получение непрерывного поля измерений спектральных характеристик и двух видов информации: структурной и тектонофизической. Первая оценивает делимость и дислоцированность резервуара мало- и микроамплитудными нарушениями с прогнозом степени их новейшей и современной активности, дополняющим полученные геолого-геофизические данные. Вторая дает представление о распределении напряженного состояния массива пород в пределах месторождения.

Исходя из этого, целью данной статьи является показать возможности нового метода дистанционных исследований — структурно-тектонофизического, который предназначен для прогноза тонкой структуры резервуара и оценки его напряженного состояния через кинематику современно подвижных тектонических элементов ловушки. Метод обладает высокой детальностью и позволяет получать информацию о современной, оконч-

тельно сформированной структуре с осложняющими ее активными малоамплитудными нарушениями и данными о геотермических и миграционных процессах, облегчающих оценку перспектив нефтегазоносности.

Проведенный корреляционный анализ показал наличие пространственной связи спектральных, тепловых аномалий и современных активных разрывных нарушений. Эти факты свидетельствуют, что их активизация, повышенный тепловой поток и миграция УВ вызваны единым термодинамическим процессом.

Выделенные в процессе этого анализа тектонические нарушения с различными кинематическими характеристиками (сбросы, сдвиги, раздвинги и др.), осложняющие структурные ловушки и разделяющие их на блоки, несут тектонофизическую информацию о напряженном состоянии участков недр в пределах месторождений и современной активности резервуаров. Она имеет непосредственное влияние на их фильтрационно-емкостные свойства, так как выявляемые кинематические особенности разрывных нарушений служат предпосылками